

# Quandle coloring quivers for virtual links

Ryotaro Ueda

Osaka University

研究集会「結び目の数理III」

December 24, 2020

# Today's contents

- ① Virtual links and virtual quandle colorings
- ② Definition of virtual quandle coloring quivers
- ③ Main results

# Today's contents

- 1 Virtual links and virtual quandle colorings
- 2 Definition of virtual quandle coloring quivers
- 3 Main results

# Virtual link diagrams

Definition (Kauffman, 1999)

*Virtual link diagram*  $\Leftrightarrow$  平面へはめ込まれたいくつかの向き付けられた円周であり、その多重点は有限個の横断的に交わる 2 重点のみで、そこには *classical crossing* または *virtual crossing* の情報が与えられているもの。

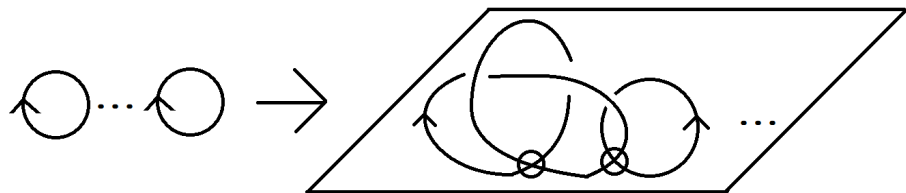


Figure: Virtual link diagram.

# Virtual links

Definition (Kauffman, 1999)

$D, D'$  : virtual link diagrams.

$D \sim D' \Leftrightarrow$  有限回の generalized Reidemeister moves で移り合う.

特に有限回の oriented generalized Reidemeister moves で移り合う.

virtual link  $\Leftrightarrow$  virtual link diagram の同値類.

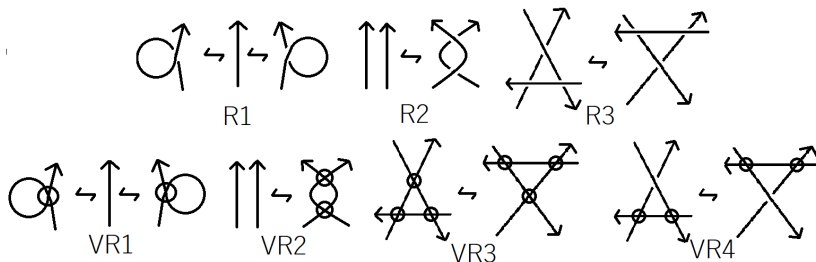


Figure: A generating set of generalized Reidemeister moves.

# Quandles

Definition (Joyce, 1982)

次の 3 条件を満たす集合  $X$  と 2 項演算  $*$  の組  $(X, *)$  を *quandle* という.

- ①  $\forall x \in X, x * x = x.$
- ②  $\forall x, y \in X, \exists! z \in X \text{ s.t. } z * y = x.$
- ③  $\forall x, y, z \in X, (x * y) * z = (x * z) * (y * z).$

以後 quandle  $(X, *)$  を  $X$  と書き, 有限なものとする.

Example

$X$  を剰余群  $\mathbb{Z}_n = \mathbb{Z}/n\mathbb{Z}$ , 演算  $*$  を  $x * y = 2y - x$  とすれば quandle になる,  
この quandle を位数  $n$  の *dihedral quandle* と呼び,  $R_n$  と書く.

# Quandle automorphisms and endomorphisms

## Notation

$X$  : quandle

$\text{End}(X) := \{ f : X \rightarrow X \mid f \text{ は } X \text{ の endomorphism} \}.$

$\text{Aut}(X) := \{ f : X \rightarrow X \mid f \text{ は } X \text{ の automorphism} \}.$

## Fact

$n \in \mathbb{N}$ ,  $\forall f : R_n \rightarrow R_n$  ; endomorphism ,  $\exists a, b \in \mathbb{Z}_n$  s.t.  $f(x) = ax + b$ .

特に  $f$  が automorphism の時は  $(a, n) = 1$ .

# Virtual quandles

Definition (Manturov, 2002)

$X$  : quandle ,  $f \in \text{Aut}(X)$ . このとき 組  $(X, f)$  を *virtual quandle* という.

注意として  $(X, f)$  は quandle ではないが, Manturov に従ってこのように呼ぶ.

Definition (Ceniceros-Nelson, 2009)

$(X, f), (X, g)$  : virtual quandles.

$(X, f) \sim (X, g) \Leftrightarrow \exists \phi \in \text{Aut}(X)$  s.t.  $f = \phi^{-1} \circ g \circ \phi$ .

$$\begin{array}{ccc} X & \xrightarrow{\phi} & X \\ f \downarrow & \circlearrowleft & \downarrow g \\ X & \xrightarrow{\phi} & X \end{array}$$

## Example of virtual quandles

### Example

$R_3$  : 位数 3 の dihedral quandle ,

$f, g \in \text{Aut}(R_3)$  ,  $f(x) = x + 1$ ,  $g(x) = x + 2$  .

このとき  $(R_3, f) \sim (R_3, g)$  である.

実際,  $\phi(x) = 2x$  とすると  $f = \phi^{-1} \circ g \circ \phi$  となる.

### Fact

$\text{Aut}(R_3) \cong S_3$  : symmetric group である.

このとき  $S_3$  の共役類は  $(1), (12), (123)$  なので,  $R_3$  上の virtual quandle の同値類は 3 種類ある.

# Virtual quandle colorings

## Definition

$D$  : virtual link diagram.

$D$  の virtual arc  $\Leftrightarrow D$  の arc を virtual crossing でさらに分割したもの.

$\mathcal{VA}(D) := \{ D \text{ の virtual arc} \}$ .

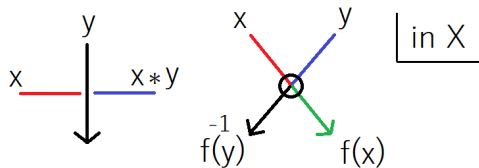
## Definition

$(X, f)$  : virtual quandle,  $D$  : virtual link diagram.

$c : \mathcal{VA}(D) \rightarrow X$  が  $(X, f)$ -coloring  $\Leftrightarrow D$  の各交点で以下の図の条件を満たす.

$\text{Col}_{(X,f)}(D) := \{ D \text{ の } (X, f)\text{-coloring} \}$ .

特に  $f$  が恒等写像のときは  $\text{Col}_X(D)$  とかく.



## Example of virtual quandle colorings

$D$  : virtual Hopf link diagram,  $(R_3, f)$  : virtual quandle,  $f(x) = 2x$ .  
 このとき virtual quandle coloring は次の 3 通りである.

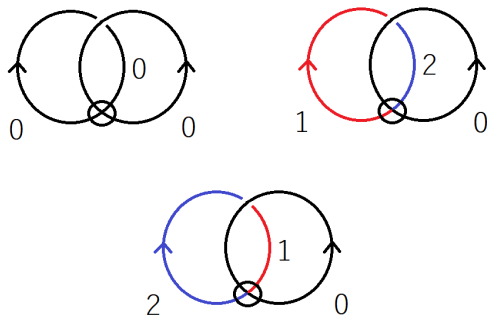


Figure: Virtual Hopf link diagram の virtual quandle coloring.

# Property of virtual quandle colorings (1)

## Proposition (Manturov, 2002)

$(X, f)$  : virtual quandle.

$$D \sim D' \Rightarrow |\text{Col}_{(X,f)}(D)| = |\text{Col}_{(X,f)}(D')|.$$

つまり  $|\text{Col}_{(X,f)}(D)|$  は virtual link の不変量である.

## Proposition (U.)

$D$  : virtual link diagram.

$$(X, f) \sim (X, g) \Rightarrow |\text{Col}_{(X,f)}(D)| = |\text{Col}_{(X,g)}(D)| .$$

つまり  $|\text{Col}_{(X,f)}(D)|$  は virtual quandle の同値類の不変量である.

## Property of virtual quandle colorings (2)

Theorem (Ceniceros-Nelson, 2009)

$D$  : virtual link diagram.

$\exists (X, f), (X, g) : \text{virtual quandles s.t. } |\text{Col}_{(X,f)}(D)| \neq |\text{Col}_{(X,g)}(D)|$   
 $\Rightarrow \forall D' \sim D, D'$  は virtual crossing を含む.

Example

$D$  : virtual trefoil diagram,  $(R_3, f_1), (R_3, f_2)$  : virtual quandles,  $f_1(x) = 2x + 1, f_2(x) = x + 1$ .  
 $|\text{Col}_{(R_3,f_1)}(D)| = 3, |\text{Col}_{(R_3,f_2)}(D)| = 0$  なので,  $\forall D' \sim D, D'$  は virtual crossing を含む.



Figure: Virtual trefoil diagram.

# Today's contents

- 1 Virtual links and virtual quandle colorings
- 2 Definition of virtual quandle coloring quivers
- 3 Main results

# Quandle coloring quivers

## Definition (Cho-Nelson, 2018)

$D$  : classical link diagram ,  $X$  : quandle.

$S \subset \text{End}(X)$ ,

$Q_X^S(D)$  : quandle coloring quiver

$\Leftrightarrow Q_X^S(D) = (V, E)$  : an oriented graph.

①  $V = \text{Col}_X(D)$ .

②  $E = \{ (v, w, g) \in V \times V \times S \mid w = g \circ v \}$ .

ここで辺集合  $E$  には第 1 成分を始点, 第 2 成分を終点として向きを入れる.

## Theorem (Cho-Nelson, 2018)

$D \sim D' \Rightarrow \forall S \subset \text{End}(X)$  ,  $Q_X^S(D) \cong Q_X^S(D')$ .

つまり  $Q_X^S(D)$  は classical link の不変量である.

# Virtual quandle coloring quivers

## Definiton (U.)

$D$  : virtual link diagram ,  $(X, f)$  : virtual quandle.

$S \subset \text{Com}_f(X) := \{ g \in \text{End}(X) \mid f \circ g = g \circ f \}$ ,

$VQ_{(X,f)}^S(D)$  : virtual quandle coloring quiver

$\Leftrightarrow VQ_{(X,f)}^S(D) = (V, E)$  : an oriented graph.

①  $V = \text{Col}_{(X,f)}(D)$ .

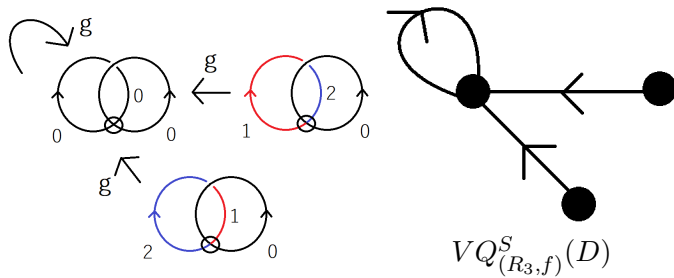
②  $E = \{ (v, w, g) \in V \times V \times S \mid w = g \circ v \}$ .

ここで辺集合  $E$  には第 1 成分を始点, 第 2 成分を終点として向きを入れる.

# Example of virtual quandle coloring quivers (1)

$D$  : virtual Hopf link diagram,

$(R_3, f)$  : virtual quandle,  $f(x) = 2x$ ,  $g(x) = 0$ ,  $S = \{g\} \subset \text{Com}_f(R_3)$



$$VQ^S_{(R_3,f)}(D)$$

# Today's contents

- ① Virtual links and virtual quandle colorings
- ② Definition of virtual quandle coloring quivers
- ③ Main results

# Main results

## Main theorem (1) (U.)

$D \sim D' \Rightarrow \forall S \subset \text{Com}_f(X), VQ_{(X,f)}^S(D) \cong VQ_{(X,f)}^S(D')$ .

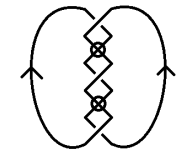
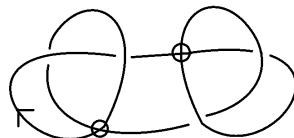
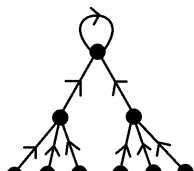
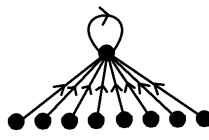
つまり  $VQ_{(X,f)}^S(D)$  は virtual link の不変量である.

## Remark

$VQ_{(X,f)}^S(D)$  は  $|\text{Col}_{(X,f)}(D)|$  より真に強い virtual link の不変量である.

## Example of virtual quandle coloring quivers (2)

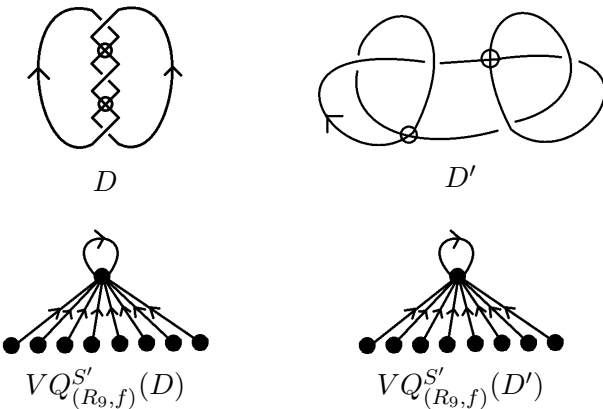
$(R_9, f)$  : virtual quandle,  $f(x) = 2x$ ,  $g(x) = 3x$ ,  $S = \{g\} \subset \text{Com}_f(R_9)$ ,  
 $|\text{Col}_{(R_9, f)}(D)| = |\text{Col}_{(R_9, f)}(D')| = 9$ .

 $D$  $D'$  $VQ_{(R_9, f)}^S(D)$  $VQ_{(R_9, f)}^S(D')$ 

つまり  $D \approx D'$

## Example of virtual quandle coloring quivers (2')

$(R_9, f)$  : virtual quandle,  $f(x) = 2x$ ,  $\textcolor{red}{g'(x) = 0}$ ,  $S' = \{g'\} \subset \text{Com}_f(R_9)$ ,  
 $|\text{Col}_{(R_9, f)}(D)| = |\text{Col}_{(R_9, f)}(D')| = 9$ .



つまり  $S$  の選び方によって  $D \sim D'$  か分からぬ場合もある.

# Main results

## Theorem (Taniguchi, 2020)

$p$  : odd prime,  $D, D'$  : classical link diagrams.

$$\begin{aligned} |\text{Col}_{R_p}(D)| &= |\text{Col}_{R_p}(D')| \\ \Rightarrow \forall S \subset \text{End}(R_p), Q_{R_p}^S(D) &\cong Q_{R_p}^S(D'). \end{aligned}$$

## Main theorem (2) (U.)

$p$  : odd prime,  $D, D'$  : virtual link diagrams,  $f \in \text{Aut}(R_p)$ .

$$\begin{aligned} |\text{Col}_{(R_p,f)}(D)| &= |\text{Col}_{(R_p,f)}(D')| \\ \Rightarrow \forall S \subset \text{Com}_f(R_p), VQ_{(R_p,f)}^S(D) &\cong VQ_{(R_p,f)}^S(D'). \end{aligned}$$

## Remark

$$\begin{aligned} VQ_{(R_p,f)}^S(D) &\cong VQ_{(R_p,f)}^S(D') \\ \Rightarrow |\text{Col}_{(R_p,f)}(D)| &= |\text{Col}_{(R_p,f)}(D')| \end{aligned}$$

# Main results

## Main theorem (3) (U.)

$D$ : virtual link diagram,

$(X, f) \sim (X, g)$ , つまり  $\exists \phi \in \text{Aut}(X)$  s.t.  $f = \phi^{-1} \circ g \circ \phi$ .

このとき  $\Phi_\phi : \text{Com}_f(X) \rightarrow \text{Com}_g(X)$ ;  $h \mapsto \phi h \phi^{-1}$  とすると,

$\forall S \subset \text{Com}_f(X)$ ,  $VQ_{(X,f)}^S(D) \cong VQ_{(X,g)}^{\Phi_\phi(S)}(D)$ .

### Remark

特に  $\Phi_\phi$  は全単射なので,  $VQ_{(X,f)}^{\text{Com}_f(X)}(D) \cong VQ_{(X,g)}^{\text{Com}_g(X)}(D)$ .

つまり  $VQ_{(X,f)}^{\text{Com}_f(X)}(D)$  は virtual quandle の同値類の不変量である.

### Remark

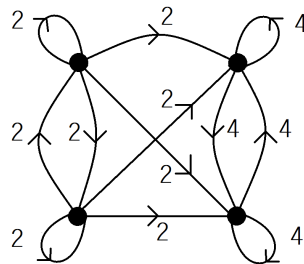
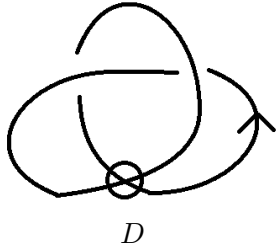
$VQ_{(X,f)}^{\text{Com}_f(X)}(D)$  は  $|\text{Col}_{(X,f)}(D)|$  より真に強い virtual quandle の同値類の不変量である.

## Example of virtual quandle coloring quivers (3)

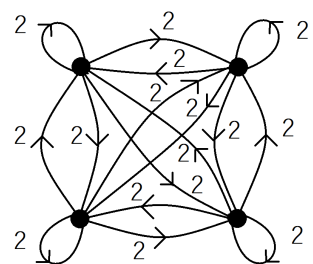
$D$  : virtual trefoil diagram.

$(R_4, f_1), (R_4, f_2)$  : virtual quandles,  $f_1(x) = 3x + 2, f_2(x) = x + 2,$

$|\text{Col}_{(R_4, f_1)}(D)| = |\text{Col}_{(R_4, f_2)}(D)| = 4.$



$$VQ_{(R_4, f_1)}^{\text{Com}_{f_1}(R_4)}(D)$$



$$VQ_{(R_4, f_2)}^{\text{Com}_{f_2}(R_4)}(D)$$

つまり  $(R_4, f_1) \not\sim (R_4, f_2)$

□

**Thank you for your attention.**